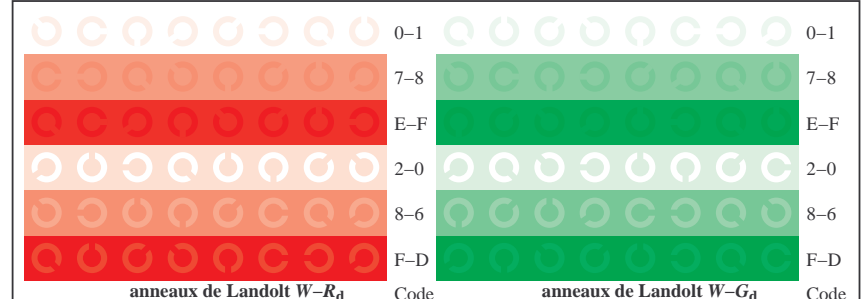


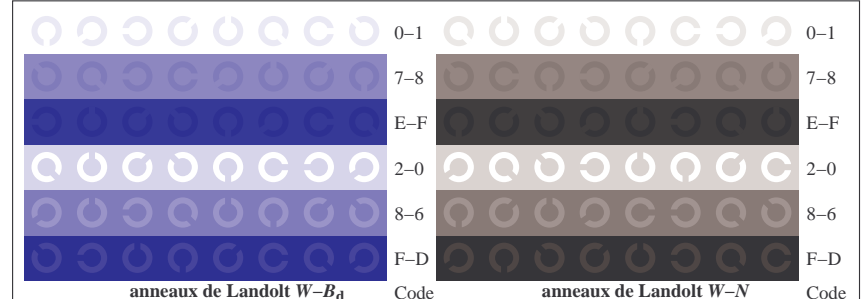
TF881-1, Fig. D4Wd: 16 paliers équidistants $W-R_d; W-G_d; W-B_d; W-N$; $rgb/cmy0 \rightarrow rgb_d$ setrgbcolor

+-.:	Q O C Q C	lmno	C O C O C	pqrs	O O O O O	tuvw	O O O O O
xyz;	O O C O C	hijk	O C O C O	lmno	O C O C O	pqrs	O C O C O
tuvw	O O C O C	defg	O O C O C	hijk	O C O C O	lmno	O C O C O
pqrs	O O C O C	!abc	O O C O C	+-.:	O O C O C	hijk	O C O C O
lmno	O O C O C	+-.:	O O C O C	xyz;	O O C O C	+-.:	O O C O C
hijk	C C O C O	tuvw	O O C O C	defg	O O C O C	!abc	O O C O C
defg	O O C O C	pqrs	O O C O C	!abc	O O C O C	xyz;	O O C O C
!abc	O O C O C	10 N R_d G_d B_d Z	8 N R_d G_d B_d Z	6 N R_d G_d B_d Z	4 N R_d G_d B_d Z	defg	N R_d G_d B_d Z
10 N R_d G_d B_d Z							

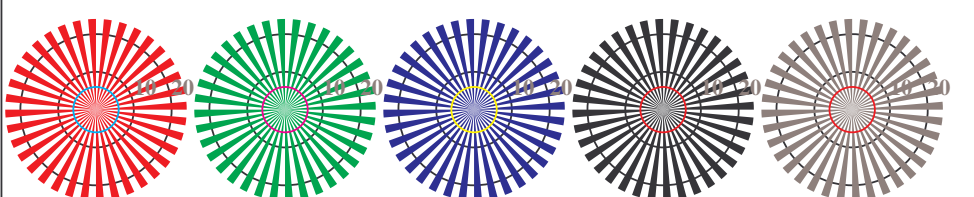
TF881-3, Fig. D5Wd: code et anneau de Landolt $N; R_d; G_d; B_d; Z$; PS opérateur: $rgb \rightarrow rgb_d$ setrgbcolor



TF881-5, Fig. D6Wd: anneaux de Landolt $W-R_d; W-G_d$; PS opérateur: $rgb \rightarrow rgb_d$ setrgbcolor



TF881-7, Fig. D7Wd: anneaux de Landolt $W-B_d; W-N$; PS opérateur: $rgb \rightarrow rgb_d$ setrgbcolor

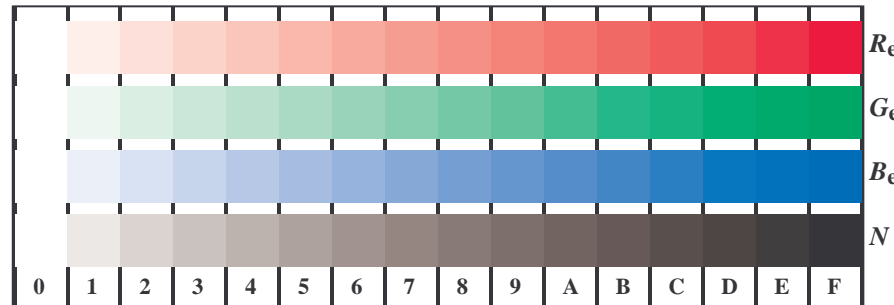


étoile Siemens $W-R_d$ étoile Siemens $W-G_d$ étoile Siemens $W-B_d$ étoile Siemens $W-N$ étoile Siemens $W-Z$

TF880-5, Fig. D2Wd: étoile de Siemens $W-R_d; W-G_d; W-B_d; W-N$; PS opérateur: $rgb \rightarrow rgb_d$ setrgbcolor



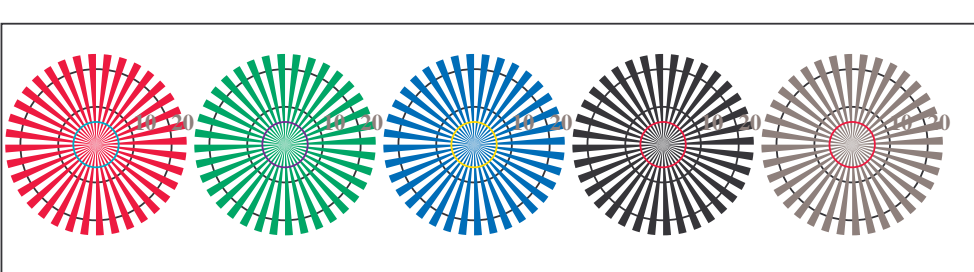
TF880-7, Fig. D3Wd: 14 CIE test couleurs et 2 + 16 paliers de gris (sf); PS opérateur: $rgb/cmy0 \rightarrow rgb_d$ setrgbcolor



TF881-1, Fig. D4We: 16 paliers équidistants $W-Re$; $W-Ge$; $W-Be$; $W-N$; $rgb/cm\gamma 0->rgb_e$ setrgbcolor

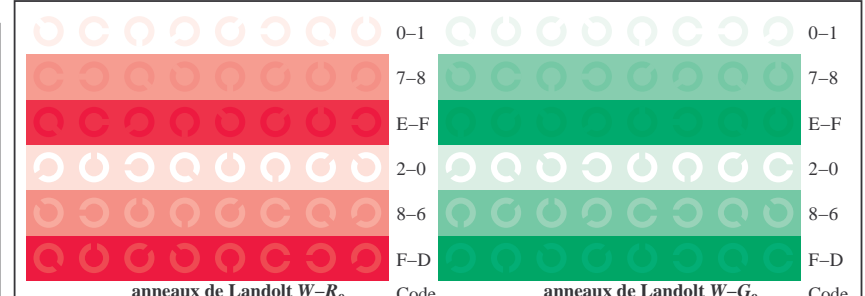
+-.:		lmno		pqrs		uvwxyz;	
xyz;		hijk		lmno		pqrs	
tuvw		defg		hijk		uvwxyz;	
pqrs		!abc		defg		tuvw	
lmno		+-.:		!abc		uvwxyz;	
hijk		xyz;		defg		tuvw	
defg		tuvw		!abc		uvwxyz;	
!abc		pqrs		6	N R _e G _e B _e Z	defg	
10	N R _e G _e B _e Z	8	N R _e G _e B _e Z				4

TF881-3, Fig. D5We: code et anneau de Landolt N ; R_E ; G_E ; B_E ; Z ; PS opérateur; $rgb \rightarrow rgbe$ setrgbcolor

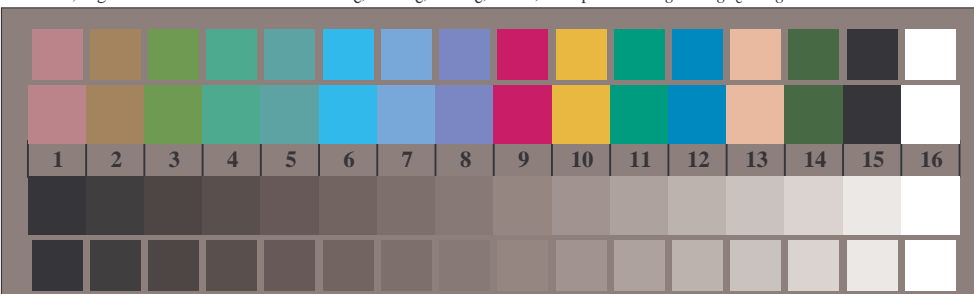


étoile Siemens $W-R_E$ étoile Siemens $W-G_E$ étoile Siemens $W-B_E$ étoile Siemens $W-N$ étoile Siemens $W-Z$

TF880-5, Fig. D2We: étoile de Siemens $W-Re$; $W-Ge$; $W-Be$; $W-N$; PS opérateur; $rgb \rightarrow rgb_e$ setrgbcolor

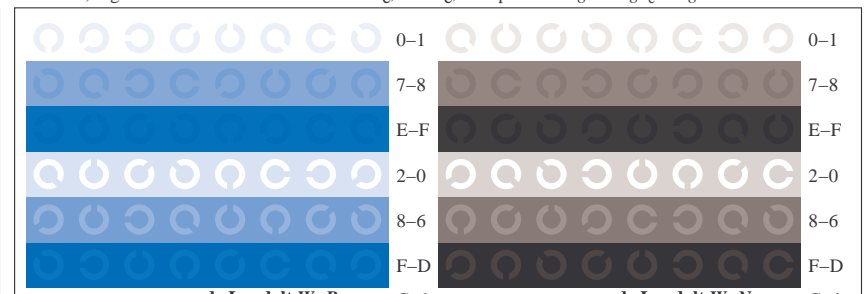


TF881-5, Fig. D6We: anneaux de Landolt $W-Re$; $W-Ge$; PS opérateur; $rgb \rightarrow r_{rgb}, setrgbcolor$

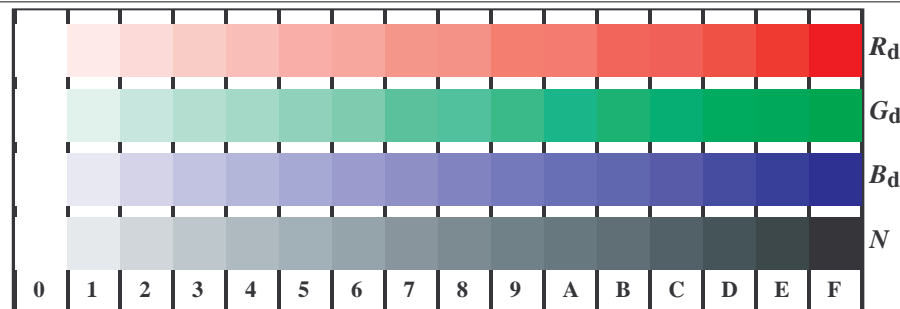


TF880-7, Fig. D3W, 14 GHz total, $\nu = 12 + 16$, aligned along (S_0, BS) (total width $b = 9$ arcsec, depth $d = 1$ arcsec).

D3We: 14 CIE

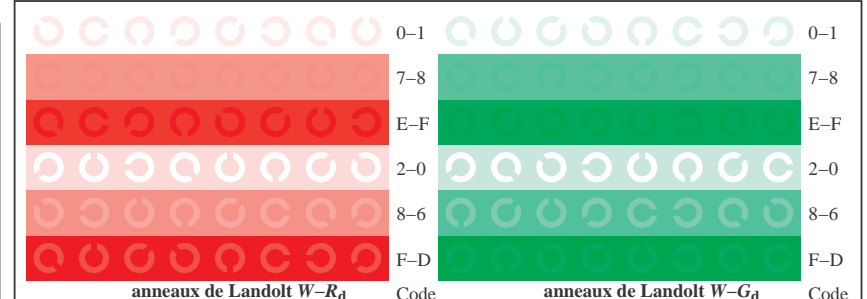


anneaux de Landolt W-Bé Code anneaux de Landolt W-N

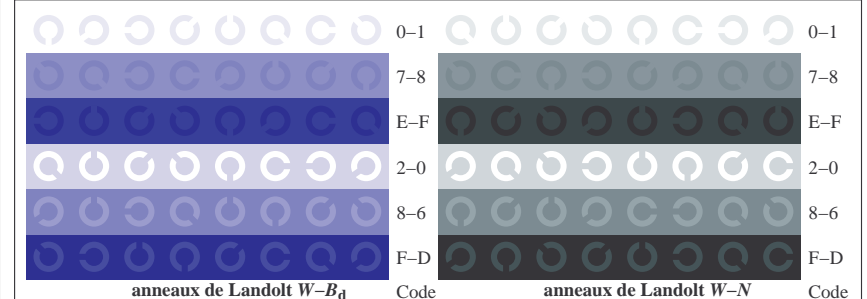


+-.:	Q O C Q C	lmno	C O C O C	pqrs	O O O O O	tuw
xyz;	O O C O C	hijk	O C O C O	lmno	O O O O O	pqr
tuvw	O O C O C	defg	O O C O C	hijk	O O O O O	lmno
pqrs	O O C O C	!abc	O O C O C	+-.:	O O O O O	hijk
lmno	O O C O C	+-.:	O O C O C	xyz;	O O O O O	+-.:
hijk	C O C O C	tuvw	O O C O C	tuvw	O O O O O	!abc
defg	O O C O C	pqrs	O O C O C	defg	O O O O O	xyz;
!abc	O O C O C	!abc	O O C O C	!abc	O O O O O	defg
10	N R_d G_d B_d Z	6	N R_d G_d B_d Z	6	N R_d G_d B_d Z	4
		8	N R_d G_d B_d Z			N R_d G_d B_d Z

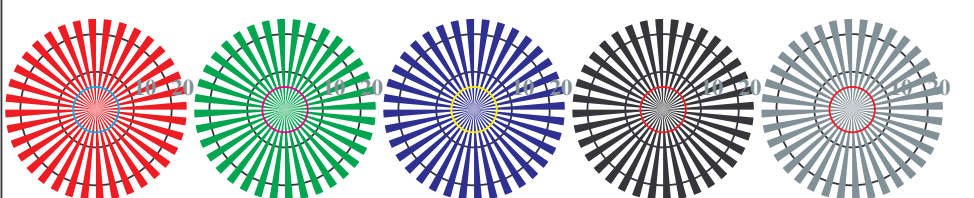
TF881-3, Fig. D5Wdd: code et anneau de Landolt N ; R_d ; G_d ; B_d ; Z ; PS opérateur: $rgb \rightarrow rgb_{dd}$ setrgbcolor



TF881-5, Fig. D6Wdd: anneaux de Landolt $W-R_d$; $W-G_d$; PS opérateur: $rgb \rightarrow rgb_{dd}$ setrgbcolor

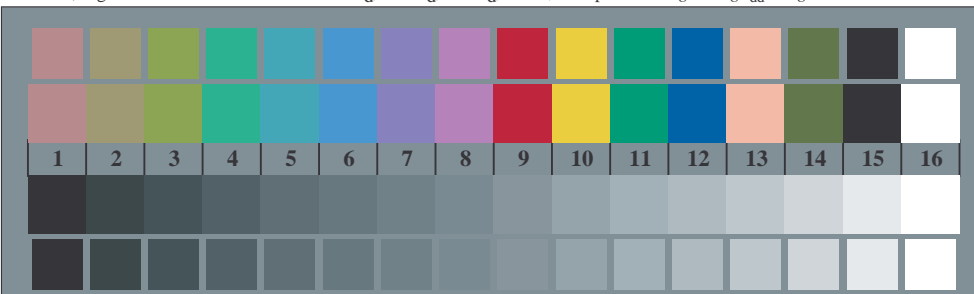


TF881-7, Fig. D7Wdd: anneaux de Landolt $W-B_d$; $W-N$; PS opérateur: $rgb \rightarrow rgb_{dd}$ setrgbcolor

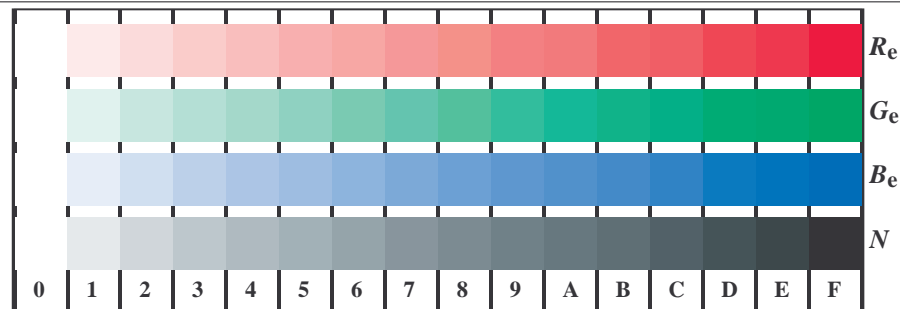


étoile Siemens $W-R_d$ étoile Siemens $W-G_d$ étoile Siemens $W-B_d$ étoile Siemens $W-N$ étoile Siemens $W-Z$

TF880-5, Fig. D2Wdd: étoile de Siemens $W-R_d$; $W-G_d$; $W-B_d$; $W-N$; PS opérateur: $rgb \rightarrow rgb_{dd}$ setrgbcolor



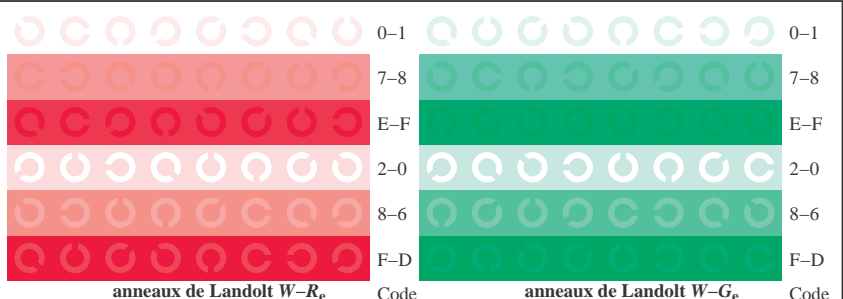
TF880-7, Fig. D3Wdd: 14 CIE test couleurs et 2 + 16 paliers de gris (sf); PS opérateur: $rgb/cmy0 \rightarrow rgb_{dd}$ setrgbcolor



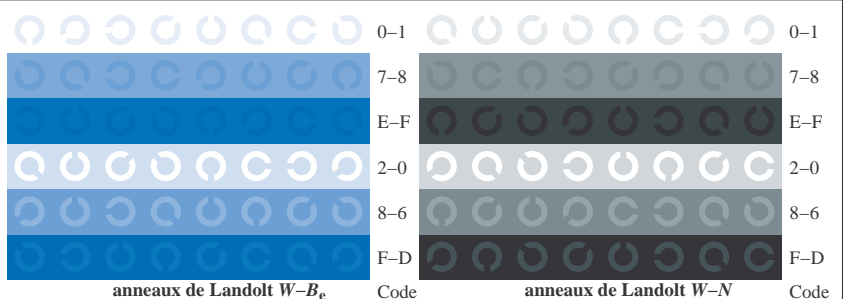
TF881-1, Fig. D4Wde: 16 paliers équidistants $W-R_e; W-G_e; W-B_e; W-N$; $rgb/cmy0 \rightarrow rgb_{de} setrgbcolor$

+-.:		lmno		pqr&		tuvw	
xyz;		hijk		lmno		pqr&	
tuvw		defg		hijk		lmno	
pqrs		!abc		+-.:		xyz;	
lmno		+-.		tuvw		defg	
hijk		xyz;		!abc		!abc	
defg		pqrs		6		$N R_e G_e B_e Z$	
!abc		10		8		$N R_e G_e B_e Z$	

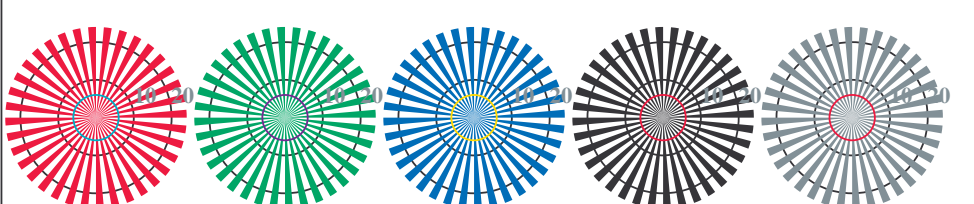
TF881-3, Fig. D5Wde: code et anneau de Landolt $N; R_e; G_e; B_e; Z$; PS opérateur: $rgb \rightarrow rgb_{de} setrgbcolor$



TF881-5, Fig. D6Wde: anneaux de Landolt $W-R_e; W-G_e$; PS opérateur: $rgb \rightarrow rgb_{de} setrgbcolor$

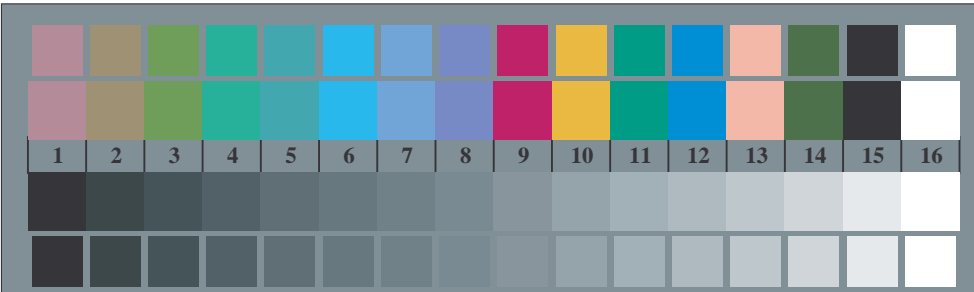


TF881-7, Fig. D7Wde: anneaux de Landolt $W-B_e; W-N$; PS opérateur: $rgb \rightarrow rgb_{de} setrgbcolor$



étoile Siemens $W-R_e$ étoile Siemens $W-G_e$ étoile Siemens $W-B_e$ étoile Siemens $W-N$ étoile Siemens $W-Z$

TF880-5, Fig. D2Wde: étoile de Siemens $W-R_e; W-G_e; W-B_e; W-N$; PS opérateur: $rgb \rightarrow rgb_{de} setrgbcolor$



TF880-7, Fig. D3Wde: 14 CIE test couleurs et 2 + 16 paliers de gris (sf); PS opérateur: $rgb/cmy0 \rightarrow rgb_{de} setrgbcolor$